

увеличении плотности плазмы ток пучка ионов  $\bar{H}^-$  достигает значения тока насыщения, которое можно оценить по следующей формуле:

$$I_{\bar{H}^-}^* = e K W_0 n_{D^-} / n_+ [\langle \sigma_1 v_{D^-} \rangle / (\langle \sigma_2 v_e \rangle + \langle \sigma_3 v_+ \rangle)] n_{H^0} \langle v_{\bar{H}^-} \rangle S, \quad (3)$$

где  $S$  — площадь поперечного сечения объема перезарядки, из которого извлекаются ионы  $\bar{H}^-$ ; у нас  $S=1 \text{ см}^2$ .

Температура электронов плазмы, генерируемой данным источником,  $T_e \approx 2 \text{ эВ}$ , температура ионов  $T_i \approx 5 \text{ эВ}$  [9].

Пользуясь данными о сечениях процессов [8], имеем  $\langle \sigma_1 v_{D^-} \rangle \approx 2 \cdot 10^{-8} \text{ см}^3/\text{с}$ ,  $\langle \sigma_2 v_e \rangle \approx 1.5 \cdot 10^{-7} \text{ см}^3/\text{с}$ ,  $\langle \sigma_3 v_+ \rangle \approx 5 \cdot 10^{-8} \text{ см}^3/\text{с}$ . По результатам данной работы  $n_{D^-}/n_+ = 3 \cdot 10^{-4}$ , по данным работы [6]  $n_{H^0} = 10^{12} \text{ см}^{-3}$ ,  $KW_0 \sim 0.1$ . Полагая для оценки  $\langle v_{\bar{H}^-} \rangle = 5 \cdot 10^6 \text{ см}/\text{с}$ , из формулы (3) получаем  $I_{\bar{H}^-}^* = 0.25 \text{ мА}$ , что хорошо согласуется с экспериментальным результатом.

Из проведенных измерений и анализа метода следует, что возможность получения интенсивного пучка ионов  $\bar{H}^-$  по данному методу решающим образом зависит от параметров плазменной дейтериевой мишени. При относительной плотности ионов  $D^-$  в плазме  $n_{D^-}/n_+ \sim 0.1$ , температуре электронов  $T_e \sim 1 \text{ эВ}$ , температуре ионов  $T_i \sim 10^2 \text{ эВ}$  (характерной для поверхностно-плазменных источников) и поперечной площади объема перезарядки  $S=2 \text{ см}^2$ , как следует из формулы (3), можно рассчитывать получить рассматриваемым методом пучок ионов  $\bar{H}^-$  с током  $\sim 500 \text{ мА}$ . К достоинствам метода следует также отнести отсутствие в источнике мишеней из паров щелочных металлов, наличие которых в других методах ограничивает время непрерывной работы источников и усложняет их эксплуатацию.

В заключение авторы выражают благодарность С. К. Есину за внимание к работе.

#### Список литературы

- [1] Grubler W., Schmelzbach P. A., Singy D., Zhang W. Z. // Helv. Phys. Acta. 1986. Vol. 59. N 4. P. 568—572.
- [2] Alessi J. G., Kroonou A., Sluyters Th. // Helv. Phys. Acta. 1986. Vol. 59. N 4. P. 563—567.
- [3] Zelenskii A. V., Kohanovskii S. A., Polushkin V. G., Vishnevskii K. N. // Proc. 7<sup>th</sup> Intern. Symp. on High Energy Spin Physics. Protvino (USSR), 1987. Vol. 1. P. 154—166.
- [4] Haebeli W. // Nucl. Instr. Meth. 1968. Vol. 62. N 3. P. 355—357.
- [5] Alessi J. G., Sluyters Th., Hershcoffit A. // AIP Conf. Proc. «Polarized Proton Ion Sources». Vancouver: TRIUMF, 1984. N 117. P. 32—35.
- [6] Белов А. С., Есин С. К., Кубалов С. А. и др. // Препринт ИЯИ АН СССР. М., 1986. № П-0458. 26 с.
- [7] Belov A. S., Yessin S. K., Kubalov S. A. et al. // Proc. 7<sup>th</sup> Intern. Symp. on High Energy Spin Physics. Protvino (USSR), 1987. Vol. 2. P. 171—174.
- [8] Бельченко Ю. И., Димов Г. И., Дудников В. Г. // Препринт ИЯФ СО АН СССР. Ново-сибирск, 1977. № 77-56. 43 с.
- [9] Родляков Г. В. // ПТЭ. 1981. № 2. С. 167—169.

Институт ядерных исследований АН СССР  
Москва

Поступило в Редакцию  
5 июля 1988 г.

#### ПЛАНАРНЫЕ ВОЛНОВОДЫ, ФОРМИРУЕМЫЕ ДЕЙСТВИЕМ СВЕТА НА СЛОЯХ ХАЛЬКОГЕНИДОВ МЫШЬЯКА

И. И. Туряница, М. И. Марьян, В. В. Химинец

В связи с потребностями различных областей интегральной оптики в создании новых материалов для световодов широкого диапазона работы в настоящее время большое внимание уделяется технологиям получения и исследованию характеристик тонкопленочных волноводов на основе халькогенидных стеклообразных полупроводников (XCl). Повышенный интерес к указанным материалам вызван как достаточно простой технологией их изготовления, так и возможностью реверсивного изменения их свойств под действием внешних факторов, в частности освещения [1, 2].

Известные способы создания градиента показателя преломления волноводных элементов заключаются в изменении одним из методов (диффузией, ионной имплантацией, протонной бомбардировкой) в приповерхностной области первоначально однородного оптического материала его плотности. Экспериментальные исследования фото-, термоструктурных превращений в халькогенидных стеклах, свидетельствующие об изменении в результате лазерной засветки их оптических параметров [1-5], указывают на возможность формирования в зависимости от интенсивности излучения заранее заданного по глубине и в плоскости слоя профиля показателя преломления. Вопросы распространения мод в неоднородных волноводах, формируемых на ХСП под действием освещения, представляют также самостоятельный практический интерес, так как, с одной стороны, такие волноводы могут обладать целым рядом уникальных, легко управляемых характеристик, которые невозможно получить для однородных сред, и, с другой стороны, являются перспективными объектами при создании канальных волноводов через заданную маску. Цель данной работы — исследование влияния лазерной засветки на профиль показателя преломления, коэффициент локализации и другие характеристики тонкопленочных волноводов на основе ХСП, а также возможности прогнозирования их свойств.

При освещении халькогенидных стекол изменения показателя преломления и пропускания первых слоев вещества оказывают влияние на засветку последующих. Поскольку интенсивность излучения уменьшается по мере удаления от поверхности, то наибольшее изменение показателя преломления для фототемнеющих материалов реализуется на поверхности образца и монотонно понижается в глубину. Результаты ряда ранее проведенных исследований [6, 7] показывают, что наблюдается линейная зависимость фотондуцированного изменения коэффициента поглощения  $\kappa$  и показателя преломления  $n$  от величины экспозиции, т. е.  $\kappa = \kappa_0 + \beta E$  и  $n = n_0 + \gamma E$ , где  $\beta$  и  $\gamma$  — характеристические постоянные,  $\kappa_0$  и  $n_0$  — величины коэффициента поглощения и показателя преломления до экспозиции. Учитывая, что

$$\frac{\partial n(x, t)}{\partial t} = \gamma J(x, t), \quad \frac{\partial \kappa(x, t)}{\partial t} = \beta J(x, t), \quad (1)$$

где

$$J(x, t) = \frac{\partial E(x, t)}{\partial t} = J_0 \exp \left[ - \int_0^x \kappa(\xi, t) d\xi \right], \quad (2)$$

находим для профиля показателя преломления следующее соотношение:

$$n(x, t) = n_0 + \gamma \int_0^x \frac{J_0 e^{-\kappa_0 \tau} d\tau}{\left\{ 1 + \frac{\beta J_0 \tau}{\kappa_0} (1 - e^{-\kappa_0 x}) \right\}^2}. \quad (3)$$

Здесь  $x$  — координата от поверхности слоя,  $t$  — время экспозиции.

Таким образом, поперечное распределение показателя преломления волновода, в качестве несущего слоя которого используется освещенная пленка халькогенидного стекла, может быть записано в виде

$$n(x) = \begin{cases} n_2 & , \quad x > h, \\ n_0 + \gamma \frac{n_0 J_0 t e^{-\kappa_0 x}}{n_0 + \beta J_0 t (1 - e^{-\kappa_0 x})}, & 0 < x < h, \\ n_1 & , \quad x < 0, \end{cases}$$

где  $n_1$  и  $n_2$  — показатели преломления покровного слоя и подложки соответственно,  $h$  — толщина волноводного слоя.

Эксперименты, проведенные на тонких светочувствительных слоях  $\text{As}_2\text{S}_3$  толщиной 0.5—1.0 мкм, полученных методом термитского испарения при температуре испарения  $T_{\text{исп}} = 600$  К и засвеченных при комнатной температуре излучением аргонового лазера ( $\lambda = 0.48$  мкм) с плотностью мощности  $P = 0.94$  Вт/см<sup>2</sup>, показывают, что характеристические параметры  $\gamma$  и  $\beta$  такие:  $\gamma = 3.64 \cdot 10^{-3}$  (Дж/см<sup>2</sup>)<sup>-1</sup>,  $\beta = 5.583 \cdot 10^{-3}$  (Дж/см<sup>2</sup>)<sup>-1</sup>·мкм<sup>-1</sup>. Типичные профили показателя преломления волновода на основе  $\text{As}_2\text{S}_3$  на стеклянной подложке ( $n_2 = 1.5$ ) при различной величине экспозиции приведены на рис. 1. Видно, что освещение слоя ХСП обуславливает создание градиентных волноводов, закон распределения диэлектрической проницаемости которых определяется при заданной температуре и для заданного состава величиной экспозиции.

Следует отметить, что изменение показателя преломления по глубине с помощью указанного выше метода значительно упростит процесс формирования волноводов с заданным профилем показателя преломления, поскольку варьирование времени экспозиции и мощности лазерного излучения намного проще осуществить, чем, например, варьирование концентрации диффузанта в случае диффузионных волноводов. Изменением состава ХСП, а также температуры окружающей среды можно дополнительно варьировать величины фотоиндуцированных изменений оптических свойств стекол, значения параметров  $\beta$ ,  $\gamma$  и, таким образом, формировать на их основе градиентные волноводы с требуемыми в каждом конкретном случае

профилями показателя преломления, что еще более расширяет набор достижимых распределений  $n(x)$ .

Волновое уравнение для поля  $TE$ -мод градиентного волновода имеет следующий вид:

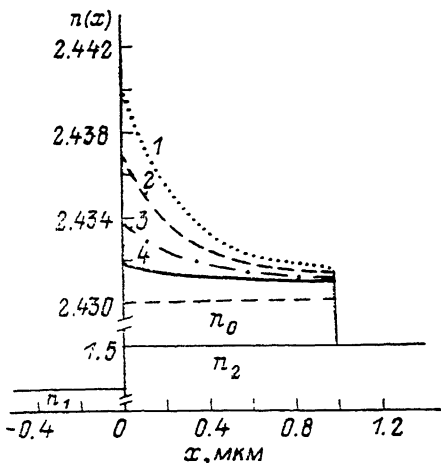


Рис. 1. Профиль показателя преломления волноводного слоя на основе  $As_2S_3$  при различных величинах экспозиции.

$E$ , Дж/см<sup>2</sup>: 1 — 30, 2 — 20, 3 — 10, 4 — 5.

Рис. 2. Зависимость разности значений  $\Delta n^*$  эффективных показателей преломления волновода на основе  $As_2S_3$ , рассчитанных без учета [16] и с учетом неоднородного распределения показателя преломления (формула (7)) по глубине, от порядка моды.

$E$ , Дж/см<sup>2</sup>: 1 — 30, 2 — 20;  $h$ , мкм: I — 3.0, II — 2.4, III — 2.0.

$$\frac{\partial^2 \Psi^*(x)}{\partial x^2} + k^2 (n^*(x) - n^{*2}) \Psi^*(x) = 0, \quad (5)$$

где  $n(x)$  — профиль показателя преломления по сечению волновода (4),  $k = 2\pi/\lambda$ .

Записывая с помощью [8] собственные значения для дифференциального уравнения (5)

$$\begin{aligned} \Psi^*(x) &= \{A_1 J_w(2v) + A_2 Y_w(2v)\} e^{ix}, \quad x < 0, \\ \Psi^*(x) &= A_1 J_w(2ve^{-x_0 h/2}) + A_2 Y_w(2ve^{-x_0 h/2}), \quad 0 < x < h, \\ \Psi^*(x) &= \{A_1 J_w(2ve^{-x_0 h/2}) + A_2 Y_w(2ve^{-x_0 h/2})\} e^{-ix}, \quad x > h, \end{aligned} \quad (6)$$

где  $x_0^2 = k^2 (n^{*2} - n_1^2)$  и  $x_0^2 = k^2 (n^{*2} - n_2^2)$  — постоянные распространения покровного слоя и подложки соответственно,  $J_w$  и  $Y_w$  — функции Бесселя 1-го и 2-го рода порядка  $w = (2h/x_0)(n^{*2} - n_0^2)^{1/2}$ ,  $v = (k/x_0)\sqrt{2n_0\eta J_0}$  — нормированная толщина слоя, и выполнив процедуру сглаживания функций  $\Psi^*(x)$  на поверхности раздела сред  $x=0$  и  $x=h$ , получаем дисперсионное уравнение, которое позволяет определить спектр эффективных показателей преломления волноводных мод в зависимости от величины экспозиции.

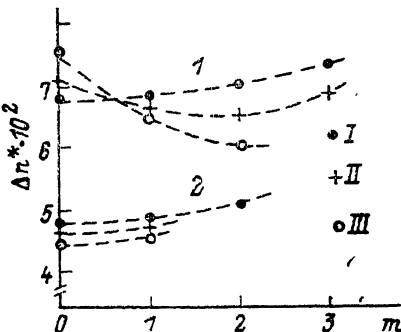
$$\frac{J_{w+1}(\xi_1) - J_{w-1}(\xi_1) - \eta_1 J_w(\xi_1)}{J_{w+1}(\xi_2) - J_{w-1}(\xi_2) + \eta_2 J_w(\xi_2)} = \frac{Y_{w-1}(\xi_1) - Y_{w+1}(\xi_1) + \eta_1 Y_w(\xi_1)}{Y_{w-1}(\xi_2) - Y_{w+1}(\xi_2) - \eta_2 Y_w(\xi_2)}. \quad (7)$$

Здесь

$$\xi_1 = 2v, \quad \xi_2 = 2ve^{-x_0 h/2}, \quad \eta_1 = \frac{4x_0}{x_0 \xi_1}, \quad \eta_2 = \frac{4x_0}{x_0 \xi_2}, \quad (8)$$

где  $m$  — порядок моды.

Расчет эффективных показателей преломления при различных величинах экспозиции, проведенный согласно формуле (7) (см. таблицу) и дисперсионному уравнению для плоского однородного волновода [9, 10], показывает, что наибольшее влияние градиент  $n$  в поперечном сечении оказывает на моды низшего порядка (рис. 2). Характерной особенностью является



и то обстоятельство, что с увеличением  $E$  разность  $\Delta n^*$  возрастает, что вызвано ростом крутизны распределения по глубине при больших экспозициях слоя (рис. 1).

Отмеченная зависимость  $\Delta n^* = f(m)$  обусловлена тем, что с увеличением числа мод их локализация в волноведущем слое уменьшается. Действительно, анализ модовой зависимости

**Эффективные показатели преломления градиентных волноводов, сформированных лазерным излучением на ХСП  $As_2S_3$  (постоянная распространения мод  $\beta = kn^* > kn_0$ )**

$k, \mu\text{мм}$	$n^*$		
	$E = 30 \text{ Дж/см}^2$	$E = 20 \text{ Дж/см}^2$	$E = 10 \text{ Дж/см}^2$
1.0	2.4552	2.4305	—
	2.4325		
1.5	2.4602	2.4004	2.4302
	2.4491		
2.0	2.4701	2.4487	2.4362
	2.4550	2.4311	
2.4	2.4405		
	2.4750		
2.4	2.4621	2.4495	2.4403
	2.4493	2.4362	
2.4	2.4305		

коэффициента локализации излучения  $\Gamma$ , определяемого отношением энергии излучения, локализованной в волноводе, к полной энергии

$$\Gamma = \frac{\int_0^h \Phi(\xi_1 e^{-x_0 x/2}) dx}{\Phi(\xi_1)/x_0 + \Phi(\xi_2)/x_0 + 2 \int_0^h \Phi(\xi_1 e^{-x_0 x/2}) dx}, \quad \Phi(\xi) = \left( J_{\omega}(\xi) + \frac{A_2}{A_1} Y_{\omega}(\xi) \right)^2 \quad (9)$$

показывает, что  $\Gamma$  уменьшается с ростом  $m$  (рис. 3).

Таким образом, проведенные исследования показали, что неоднородные волноводы на основе  $As_2S_3$ , сформированные под действием лазерного излучения, обладают сравнительно

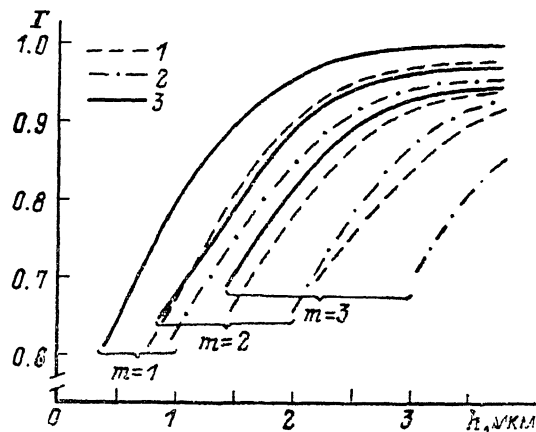


Рис. 3. Зависимость коэффициента локализации излучения  $\Gamma$  от толщины слоя  $h$  для первых трех мод при различных экспозициях.

1—3 — то же, что и на рис. 1.

легко управляемыми в зависимости от величины экспозиции параметрами, такими как распределение показателя преломления, коэффициент локализации излучения, модовый состав. Это делает градиентные слои халькогенидных стекол перспективными объектами для создания комбинированных волоконно-оптических линий связи, канальных волноводов и ответвителей различной (задаваемой при помощи маски) конфигурации.

## Список литературы

- [1] Колобов А. В., Коломиец Б. Т., Любин В. М. и др. // ФТТ. 1982. Т. 24. Вып. 4. С. 1062—1066.
- [2] Tanaka K. // Fundam. Phys. Amorphous. Semicond. Berlin, 1981. Р. 104—118.
- [3] Андреев А. М., Быковский Ю. А., Бородакий Ю. В. и др. // Письма в ЖЭТФ. 1982. Т. 30. Вып. 5. С. 377—379.
- [4] Tanaka K., Ohtsuka Y. // J. Appl. Phys. 1978. Vol. 49. N 12. P. 6132—6135.
- [5] Hamaoka H. // J. Non-Cryst. Sol. 1983. Vol. 57. N 3. P. 401—410.
- [6] Аникин А. А., Малиновский В. К. // Автометрия. 1976. Т. 7. С. 76—80.
- [7] Туралица И. И. Автореф. канд. дис. Киев, 1982. 21 с.
- [8] Справочник по специальным функциям. М.: Наука, 1979. 530 с.
- [9] Золотов А. А., Киселев В. А., Сыгучев В. А. // УФК. 1974. Т. 112. Вып. 2. С. 231—238.
- [10] Adams B. Введение в теорию оптических волноводов. М.: Мир, 1984. 512 с.

Ужгородский  
государственный университет

Поступило в Редакцию  
24 августа 1988 г.

04; 10

© 1990 г.

Журнал технической физики, т. 60, е. 2, 1990

## ЭМИССИЯ ПЛОТНОГО ЭЛЕКТРОННОГО ПУЧКА ИЗ КАНАЛА ЭЛЕКТРИЧЕСКОГО ПРОБОЯ В ТВЕРДОМ ДИЭЛЕКТРИКЕ

В. И. Олешко, В. Ф. Штанько

При возбуждении диэлектрических мишней сильноточными электронными пучками (СЭП) возникает мощная вторичная электронная эмиссия [1], механизм которой окончательно не установлен. Известно [2—4], что воздействие СЭП приводит к развитию в широкощелевых материалах разных классов соединений объемных и поверхностных стримерных разрядов, нейтрализующих инжектированный заряд электронного пучка.

С целью определения роли стримерных разрядов в инициировании вторичной электронной эмиссии в настоящей работе изучены параметры электронных пучков, эмиттированных из каналов электрических пробоев, формируемых СЭП в полиметилметакрилате (ПММА) и BaF<sub>2</sub>.

Плотность энергии возбуждающего электронного пучка варьировалась в пределах 0.1—0.8 Дж/см<sup>2</sup>, средняя энергия электронов ~280 кэВ, длительность импульса тока по основанию 20 нс. Эксперименты проводились при комнатной температуре в вакууме ~10<sup>-3</sup> Тор.

В образцах предварительно по методике [2] создавался один канал, распространяющийся из области отрицательного объемного заряда к тыльной (по отношению к облучаемой) стороне мишени. Эмиссия электронов измерялась в соответствии со схемой, представленной на рис. 1. В исследуемый образец 1, расположенный на диэлектрической трубке 2, инжектируется высокоэнергетический пучок электронов 3. При этом в объеме мишени формируется сильное электрическое поле, связанное с термализованным отрицательным объемным зарядом, нейтрализация которого осуществляется стримерными разрядами 5, развивающимися как с облучаемой, так и с тыльной поверхностей образца. Электрическое поле, приводящее к пробою диэлектрика, одновременно прикладывается к вакуумному промежутку тыльная поверхность образца — анод 4, находящийся под потенциалом земли. Величина вакуумного зазора определялась толщиной диэлектрической прокладки 6. Пространственное распределение центров эмиссии с тыльной поверхности контролировалось по люминесценции сцинтиллятора, расположенного за анодом. Анализ распределения люминесценции показал, что центрами эмиссии являются каналы электрического пробоя, созданные предварительно и возни-

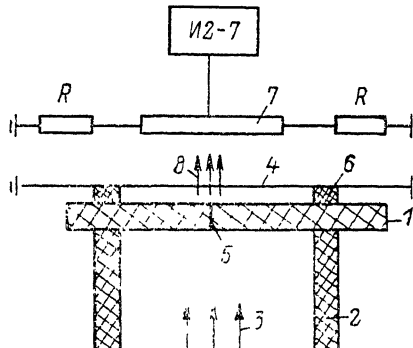


Рис. 1.